



# Использование разрывного метода Галеркина для построения решения уравнений Навье – Стокса

Сауткина С.М.

ИСП им. В.П. Иванникова РАН, МГТУ им. Н.Э. Баумана

*sautkina@ispras.ru*

# Введение

## Отличительные особенности задач газовой динамики

- Разрывность решения
- Гидро- и газодинамические неустойчивости
- Возмущения распространяются по направлениям

## Численные методы

- **МКР** – структурированные сетки, зависимость порядка аппроксимации от ширины шаблона
- **МКО** – неструктурированные сетки, консервативность, разрывные решения, сложность с расширением шаблона
- **МКЭ** – неструктурированные сетки, произвольный порядок аппроксимации, непрерывное решение, отсутствие консервативности

## Разрывный метод Галёркина

# Модель идеальной газовой динамики

## Система уравнений Эйлера

$$\left. \begin{aligned} \frac{\partial \rho}{\partial t} + \operatorname{div}(\rho \mathbf{v}) &= 0, \\ \frac{\partial \rho \mathbf{v}}{\partial t} + \operatorname{div}(\rho \mathbf{v} \otimes \mathbf{v} + p \hat{\mathcal{I}}) &= \mathbf{0}, \\ \frac{\partial e}{\partial t} + \operatorname{div}[(e + p) \mathbf{v}] &= 0 \end{aligned} \right\} \begin{aligned} \frac{\partial \mathbf{U}}{\partial t} + \operatorname{div} \mathcal{F}(\mathbf{U}) &= \mathbf{0}, \\ \mathcal{F}(\mathbf{U}) &= \operatorname{diag}\{\mathbf{F}, \mathbf{G}, \mathbf{0}\} \end{aligned}$$

$$\mathbf{U} = [\rho, \rho u, \rho v, \rho w, e]^T,$$

$$\mathbf{F} = [\rho u, \rho u^2 + p, \rho uv, \rho uw, (e + p)u]^T,$$

$$\mathbf{G} = [\rho v, \rho vu, \rho v^2 + p, \rho vw, (e + p)v]^T.$$

$\rho$  – плотность,  $\mathbf{v} = (u, v, w)^T$  – вектор скорости,  $p$  – давление,  $e = \rho \varepsilon + \rho \frac{\mathbf{v}^2}{2}$  – объёмная плотность энергии.

Уравнение состояния совершенного газа:  $p = (\gamma - 1)\rho \varepsilon$ ,  $\gamma > 1$ .

## Общая схема разрывного метода Галёркина

### Представление решения на ячейке

$$\mathbf{U}_h(\vec{x}, t) = \sum_{j=1}^N \sum_{s=0}^m \mathbf{U}_j^{(s)}(t) \varphi_j^{(s)}(\vec{x}); \quad \varphi_j^{(s)}(\vec{x}) \in \{f(\vec{x}) : f|_{I_k} \in P^m(I_k), k = \overline{1, N}\}$$

### Пространственная дискретизация уравнений

$$\frac{d}{dt} \left( \sum_{s=0}^2 \mathbf{U}_j^{(s)}(t) \int_{I_j} \varphi_j^{(s)} \varphi_j^{(r)} dS \right) - \int_{I_j} \mathcal{F}_j \cdot \nabla \varphi_j^{(r)} dS + \int_{\partial I_j} (\mathbf{n} \cdot \mathcal{F}_j) \varphi_j^{(r)} dl = 0,$$

### RK2TVD-2s

$$\mathbf{U}^* = \mathbf{U}^n + \tau \mathbf{L}_h(\mathbf{U}^n)$$

$$\mathbf{U}^{n+1} = \mathbf{U}^n + \frac{1}{2} \mathbf{U}^* + \frac{1}{2} \tau \mathbf{L}_h(\mathbf{U}^*)$$

### RK2TVD-4s

$$\mathbf{U}^* = \mathbf{U}^n + \frac{\tau}{3} \mathbf{L}_h(\mathbf{U}^n); \quad \mathbf{U}^{**} = \mathbf{U}^* + \frac{\tau}{3} \mathbf{L}_h(\mathbf{U}^*) + \frac{\tau}{3} \mathbf{L}_h(\mathbf{U}^n)$$

$$\mathbf{U}^{***} = \mathbf{U}^{**} + \frac{\tau}{3} \mathbf{L}_h(\mathbf{U}^*) + \frac{\tau}{3} \mathbf{L}_h(\mathbf{U}^{**}) + \frac{\tau}{3} \mathbf{L}_h(\mathbf{U}^n)$$

$$\mathbf{U}^{n+1} = \mathbf{U}^n + \frac{1}{4} \mathbf{U}^{***} + \frac{3}{4} \tau \mathbf{L}_h(\mathbf{U}^{***})$$

## Моделирование вязких течений

### Система уравнений Навье – Стокса

$$\frac{\partial \mathbf{U}}{\partial t} + \operatorname{div} \mathcal{F}(\mathbf{U}) - \operatorname{div} \mathcal{F}_v(\mathbf{U}) = \mathbf{0}, \quad \mathcal{F}_v(\mathbf{U}, \nabla \mathbf{U}) = \operatorname{diag}\{\mathbf{F}_v, \mathbf{G}_v, \mathbf{0}\}.$$

$$\mathbf{F}_v = \mu \begin{pmatrix} 0 \\ 2u_x + \lambda(u_x + v_y) \\ u_x + v_y \\ 0 \\ u[2u_x + \lambda(u_x + v_y)] + \\ + v(v_x + u_y) + \gamma/\operatorname{Pr} e_x \end{pmatrix}, \quad \mathbf{G}_v = \mu \begin{pmatrix} 0 \\ u_x + v_y \\ 2v_y + \lambda(u_x + v_y) \\ 0 \\ v[2v_y + \lambda(u_x + v_y)] + \\ + u(v_x + u_y) + \gamma/\operatorname{Pr} e_y \end{pmatrix}.$$

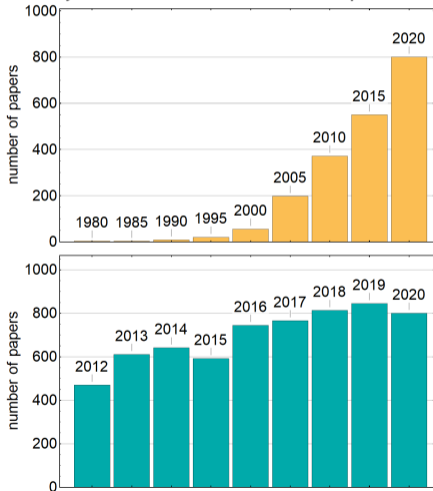
$\mu$  – коэффициент динамической вязкости,  $\operatorname{Pr}$  – число Прандтля.

### Аппроксимация вязких потоков

$$\begin{cases} \mathcal{S} - \nabla \mathbf{U} = \mathbf{0} \\ \frac{\partial \mathbf{U}}{\partial t} + \nabla \cdot \mathcal{F}(\mathbf{U}) - \nabla \cdot \mathcal{F}_v(\mathbf{U}, \mathcal{S}) = \mathbf{0}. \end{cases} \quad \mathcal{S} = \begin{pmatrix} \rho_x & (\rho u)_x & (\rho v)_x & (\rho w)_x & e_x \\ \rho_y & (\rho u)_y & (\rho v)_y & (\rho w)_y & e_y \\ \rho_z & (\rho u)_z & (\rho v)_z & (\rho w)_z & e_z \end{pmatrix}^T.$$

## Обзор метода

Публикации в системе Scopus



### Распространённость

- Имеются заделы в коммерческих комплексах
- Открытые реализации: HopeFOAM, Nektar++, MFEM, MOOSE. Первые реализации: 2017-2018 гг.

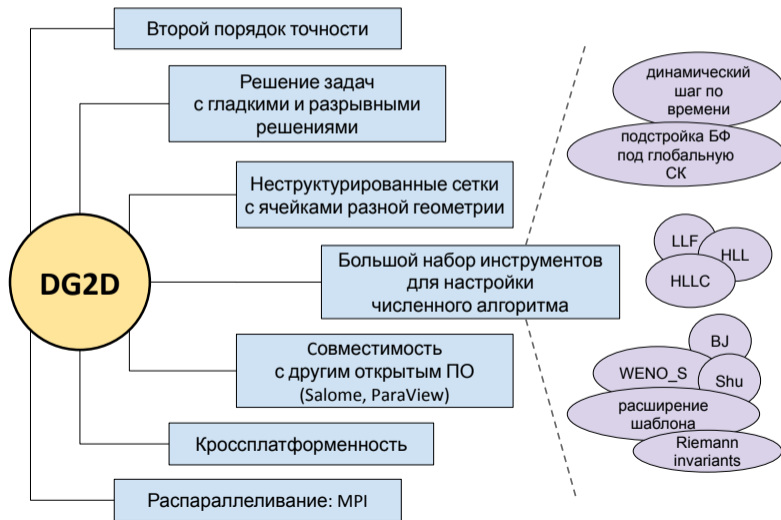
### Преимущества

- Компактный шаблон
- Произвольно высокий порядок метода
- Явная схема
- Относительно легко распараллелить

### Недостатки

- Необходимость в дополнительной монотонизации
- Сложность в реализации
- Небольшая область устойчивости

# Программный комплекс

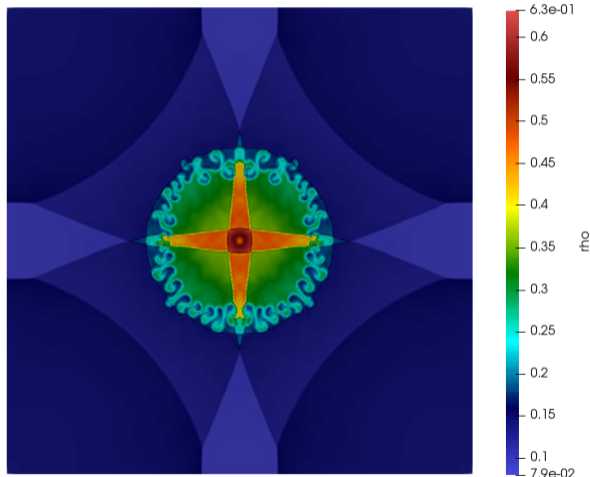
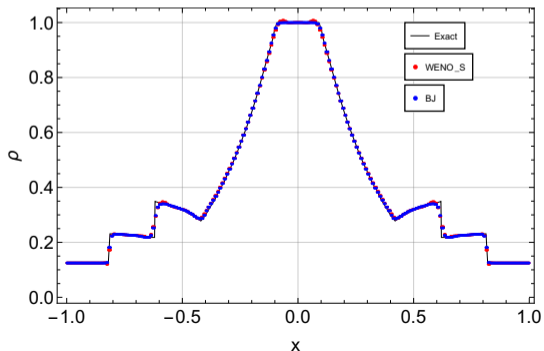


# Разрешающая способность

Задача Сода с цилиндрической симметрией

Начальные условия

$$(\rho, u, v, w, p) = \begin{cases} (1, 0, 0, 0, 1), & r \leq 0.4; \\ (0.125, 0, 0, 0, 0.1), & r > 0.4. \end{cases}$$



$t^* = 1.4$ ; 128 тыс. треугольных элементов;  
 $Co_{max} = 0.5$ ; лимитер RiemannWENO\_S



# Параллельная реализация

## Подготовка к запуску

- Построение сетки (SALOME)
- Разбиение на подобласти (ParMetis)
- Заранее вычисляется базис, массивы соседей, геометрические константы

## Передача данных

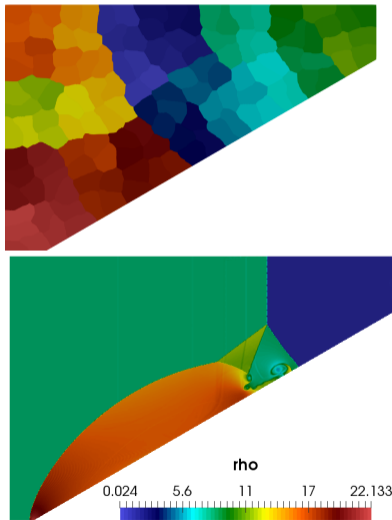
- Передаются коэффициенты решения граничных ячеек соседних подобластей
- Пересылки происходят независимо

## Данные задачи

**Сетка:** 1,3 млн ячеек

**Кол-во процессов:** 128

**Время расчета:** 20 минут



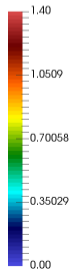
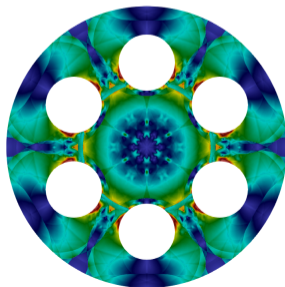
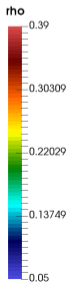
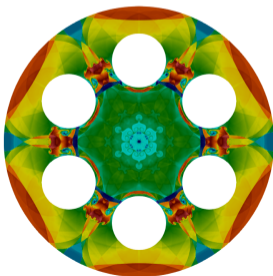
# Эффективность параллельного алгоритма

Задача Сода в области сложной формы

Сетка: 1,25 млн ячеек    Кол-во процессов: 128

Динамика времени расчета при увеличении количества ядер

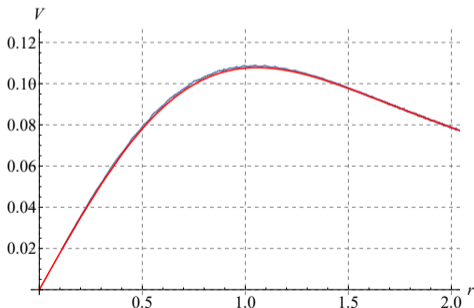
N	1	2	4	8	16	32	64	128
T, c	21.301	13.826	8.078	4.55	2.09	1.04	0.715	0.54



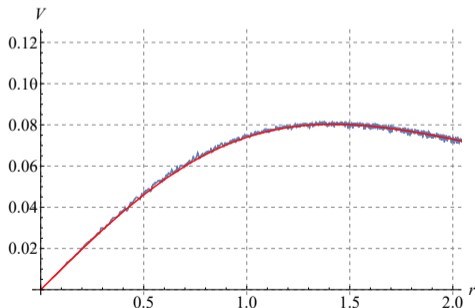
# Задача о диффузии круглого вихря Ламба

## Аналитическое решение

$$v_{\theta}(r, t_0) = \frac{\Gamma \left( 1 - \exp\left(-\frac{r^2}{4t_0\nu}\right) \right)}{2\pi r}, \text{ где } \Gamma = 1 - \text{циркуляция, } \nu = 0.01 - \text{кинематическая вязкость.}$$

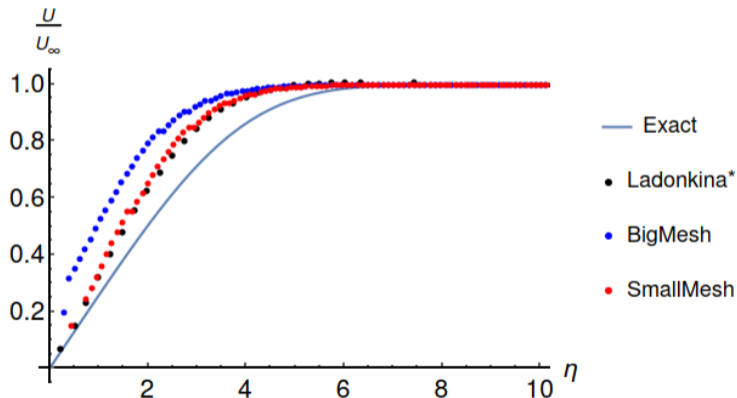


$t_1 = 22.5, t_2 = 40$ ; 23 тыс. треугольных элементов; численный поток LLF. Красная линия – аналитическое решение.



## Моделирование обтекания тонкой пластинки

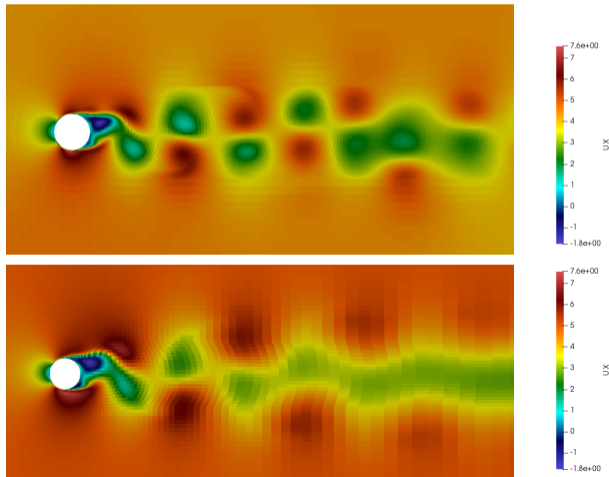
Постановка задачи:  $\rho = 1$ ,  $\rho = 0.5$ ,  $\mathbf{v} = (0.3, 0, 0)$ ,  $\mu = 0.01$ .



\* Реализация граничных условий прилипания для разрывного метода Галеркина / М.Е.Ладонкина [и др.] // Препринты ИПМ им. М.В.Келдыша. 2014. № 32. 16 с.

## Задача об ламинарном обтекании цилиндра

$t^* = 0.1$ ,  $Re = 200$ ,  $Ma = 0.014$ ,  $D = 2$ , 20 тыс. треугольных элементов в прямоугольной области  $40 \times 50$ .



## Заключение

- Представлен прототип параллельного программного комплекса для решения двумерных уравнений газовой динамики RKDG-методом
- Показано высокое качество разрешения разрывов и газодинамических неустойчивостей для разрывных решений
- Получено хорошее совпадение с аналитическим решением задачи, описывающей вязкое течение газа
- Показаны различные тестовые примеры вязкого обтекания тел

**Спасибо за внимание!**